

## 症例

### 縦隔 venous hemangioma の 1 例

中島秀行<sup>1</sup>, 宮本武<sup>1</sup>, 福田晴行<sup>1</sup>  
幸茂男<sup>1</sup>, 奥町英世<sup>1</sup>, 富岡洋海<sup>2</sup>  
西内素<sup>3</sup>, 内田博也<sup>4</sup>

<sup>1</sup>神戸中央市民病院 放射線科

<sup>2</sup>神戸中央市民病院 呼吸器内科

<sup>3</sup>神戸中央市民病院 胸部外科

<sup>4</sup>神戸中央市民病院 臨床病理科

#### 1. はじめに

縦隔に発生する血管腫はまれな疾患であり、本邦では約 30 例が報告されている<sup>1,2)</sup>。鳴田<sup>2)</sup>によると縦隔血管腫の術前診断率は低く、29 例中 2 例 (7 %) にすぎないとしている。縦隔血管腫の MRI の報告は文献検索の範囲ではみられないが、今回鑑別診断上 MRI が有効であると考えられた症例を経験したので報告する。

#### 2. 症例 41 歳、男性

平成元年 6 月の胸部 X 線写真で縦隔の異常陰影を指摘された。精査加療目的にて当院内科に

入院となる。入院時検査成績は正常で、皮膚には異常所見はなかった。

胸部 X 線写真 (図 1) : 大動脈弓から左肺門部にかけて突出する腫瘍陰影がみられた。下行大動脈の silhouette は保たれており、腫瘍は前～中縦隔にあると考えられた。

造影 CT (図 2) : 肿瘍は大動脈と接し、筋組織と同程度に enhancement をうける腫瘍として認められる。大動脈腔は強い濃染を示す。

MR 像 : Siemens 社製 Magnetom 1.5 T で、心電図同期スピニエコー法にて撮像した。T<sub>1</sub>強調矢状断像 (図 3) では、前～中縦隔に筋組織よりもわずかに高い信号強度を示す分葉状の腫瘍があり、腫瘍周囲は高信号の縦隔脂肪織で囲まれ、腫瘍内部にも点状の高信号をみとめた。

キーワード MRI, mediastinum, venous hemangioma

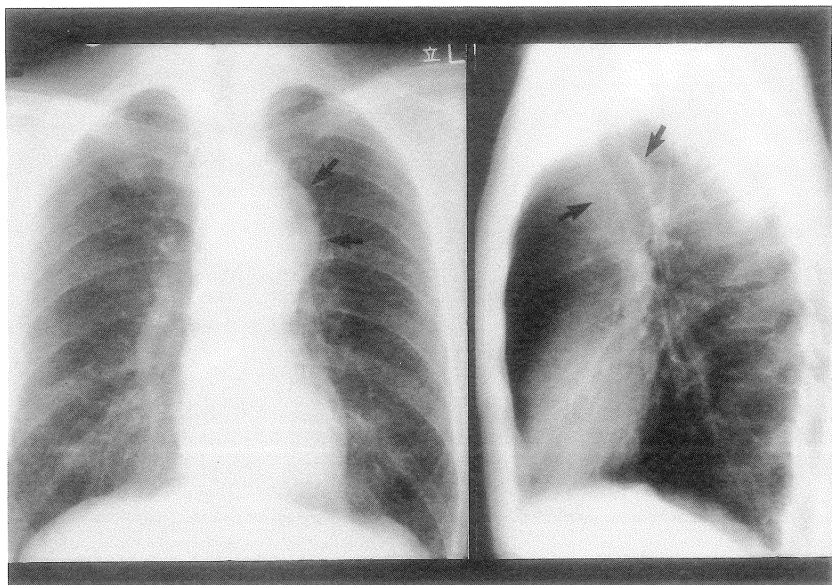


図 1 胸部 X 線写真  
大動脈弓から左肺門部にかけて腫瘤陰影をみとめる。

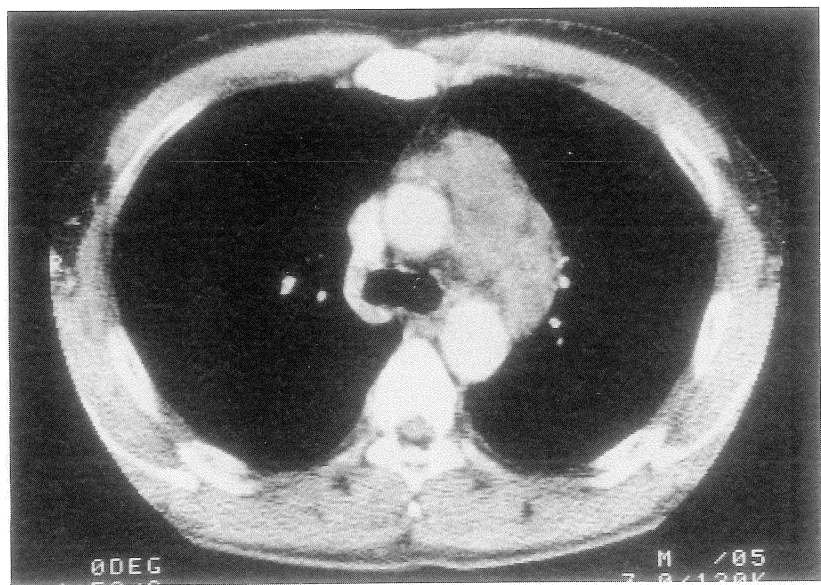


図 2 造影 CT  
腫瘍は大動脈と接し、筋肉と同程度に enhance-

ment をうけているが、大動脈腔ほどの濃染像はみられない。

受付年月日 1990年3月22日

別刷請求先 (〒650) 神戸市中央区港島中町4-6 神戸市立中央市民病院 中島秀行

症 例

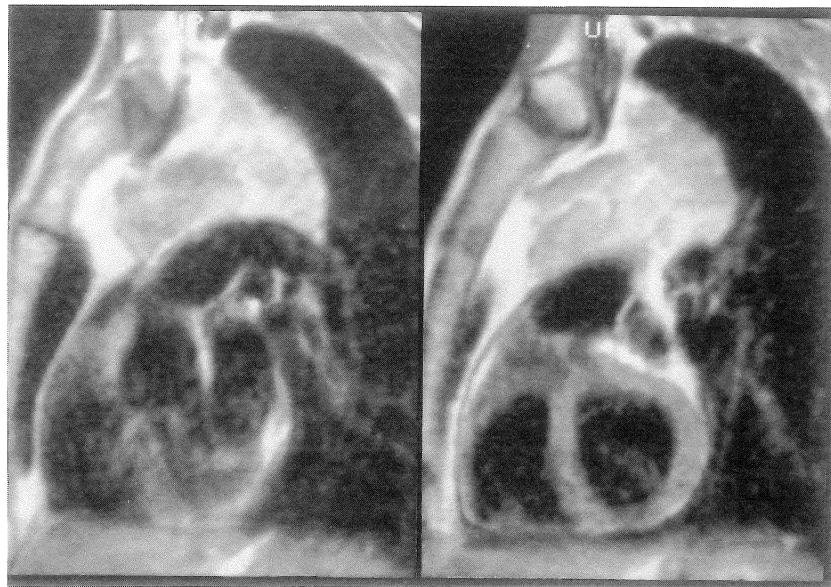


図 3 T<sub>1</sub>強調矢状断像（心電図同期 SE 法,  
TR 960/TE 15）

前～中縦隔に筋組織よりもわずかに高い信号強度

を示す腫瘍があり、腫瘍周囲及び腫瘍内にも脂肪織をみとめる。肺動脈と腫瘍の関係がよくわかる。

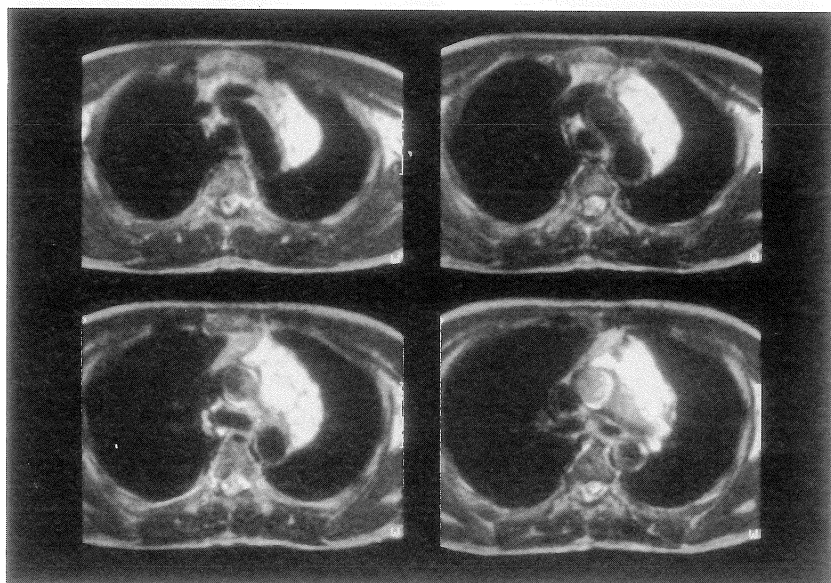


図 4 T<sub>2</sub>強調体軸断像（心電図同期 SE 法,  
TR 2000/TE 70）

腫瘍は強い高信号の大小多数の結節状影と、その

間に介在する低信号域から成り立っていた。結節部分の T<sub>2</sub>値は 117 msec であった。

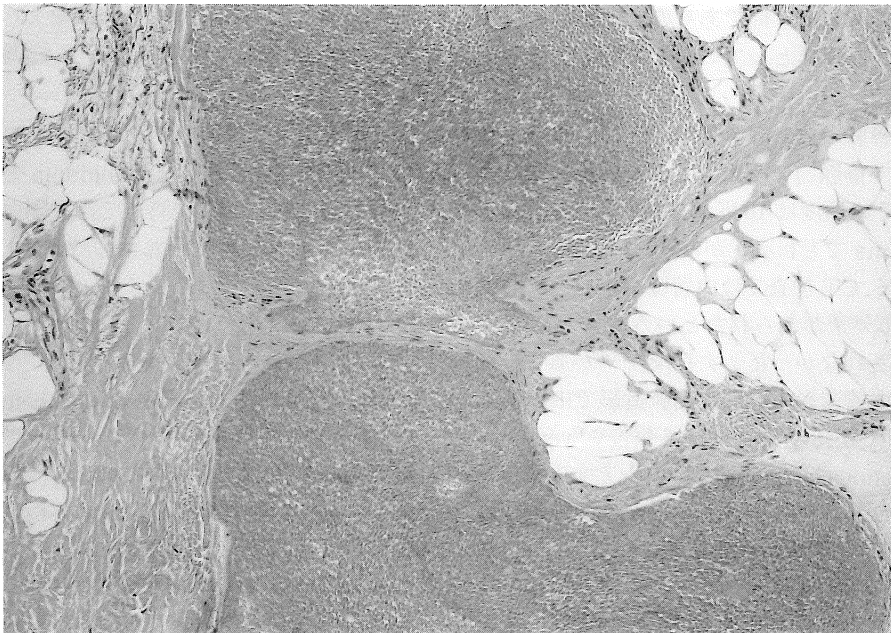


図 5 病理組織所見

大小種々の主に静脈型の血管から成り、その壁は

$T_2$ 強調横断像（図 4）では、腫瘍は強い高信号の大小多数の結節状影と、その間に介存する低信号帯から成り立っていた。結節状影の  $T_2$  値は 117 msec と延長していた。

以上の所見からリンパ管腫などが考えられたが、悪性腫瘍も否定できず手術が施行された。

手術及び組織所見：腫瘍は多房性で、大動脈弓と同部から分枝する血管への invasion はなく容易に剥離できたが、左迷走神経は腫瘍内に埋没しており、腫瘍と共に切除された。組織所見では、大小種々の主に静脈型の血管から成り、その壁は厚く平滑筋を有し、間質は線維組織と脂肪組織からなり、venous hemangioma と診断された（図 5）。

### 3. 考 察

縦隔の血管腫はまれな疾患であり、正岡<sup>3)</sup>らの

厚く平滑筋を有し、間質は線維組織と脂肪組織から成り、venous hemangioma と診断された。

全国集計によると全縦隔腫瘍 4098 例中 18 例 (0.44 %) を占めるにすぎないとしている。Davis<sup>4)</sup> らは自験例 4 例を含めた 81 例の報告例について考察し、男女比は 1 : 1、好発年齢は 10 歳未満で、75 % は 35 歳までに発見されており、発生部位は前縦隔 68 %、後縦隔 22 % で、前縦隔に多いと述べている。

血管腫は WHO 分類では a. benign hemangio endothelioma b. capillary hemangioma c. cavernous hemangioma d. venous hemangioma e. racemose (cirsoid) hemangioma に分けられる<sup>5)</sup>。自験例は病理組織所見から定型的な venous hemangioma とした。venous hemangioma は成人の後腹膜、腸間膜、四肢の筋肉に発生することが多いとされ、組織学的には壁に平滑筋組織が存在し、cavernous hemangioma や capillary hemangioma と比較して隔壁が厚いことが特徴とされている<sup>6)</sup>。しかしながら縦隔

## 症 例

の血管腫に関しては稀であるので細分化されることなく、血管腫として一括して報告されることが多い。

縦隔血管腫の放射線学的所見としては、胸部X線写真で静脈石を認めることが特徴とされているが、その頻度は10%<sup>4)</sup>にすぎず、teratomaやthymomaでも石灰化がみられ、ときに鑑別は困難である。CT検査では血管腫が不均一に濃染され、造影効果がみられたという報告<sup>1)</sup>や、ほとんど造影されなかつたとする報告<sup>7,8)</sup>があり一定しない。血管造影でも内胸動脈造影で中等度のvascularityが認められたとする報告や<sup>9)</sup>venographyで“venous lake”が造影されたとする報告<sup>10)</sup>も散見される。しかしKausch<sup>11)</sup>らは44例の海绵状血管腫で10例に血管造影を試みたが、全例血管腫を証明できなかつたとしている。この原因として血管腫の血洞で循環遅延があり、造影剤の腫瘍内移行が悪いことや、血管腫の血洞に血栓がすでに形成されていることなどが考えられる。自験例も造影CTで、大動脈腔よりも低濃度で、濃染は認められなかつた。このように縦隔血管腫は適切な術前診断法がないのが現状である。

MRIは心電図同期法によりS/N比が改善し、縦隔腫瘍の検出、質的診断、進展範囲についての評価が定着しつつある。しかし縦隔血管腫のMR像については、発生頻度が少ないと文献上の報告はみられない。自験例の縦隔血管腫はT<sub>1</sub>強調像で筋組織よりもわずかに高信号で、内部に脂肪織の強い高信号を有していたが、胸腺腫などの縦隔腫瘍との鑑別は困難であった。一方T<sub>2</sub>強調像では腫瘍は多数の結節状の強い高信号(T<sub>2</sub>値117msec)と、その間に介在する低信号域とから成り立っていた。病理との対比で、強い高信号結節部は“vascular lake”的液性成分であり、介在する低信号域は肥厚した血管壁と結合織の部分であると考えられた。Kaplan<sup>11)</sup>らも皮膚粘膜や軟部組織から発生した血管腫11

例を経験し、T<sub>2</sub>強調像がT<sub>1</sub>強調像よりも有用であり、病変の広がりの決定に、T<sub>2</sub>強調像が役立ったと述べている。今回の経験から、T<sub>2</sub>強調像で強い高信号の多数の結節状影を示す縦隔腫瘍は、類縁疾患であるlymphangiomaとの鑑別が必要と思われるが、現時点では縦隔血管腫に特異的なMR像と考えられたので報告した。

## 4. 結 語

まれな疾患である縦隔のvenous hemangiomaのMRIについて報告した。T<sub>1</sub>強調像で腫瘍は筋組織よりもわずかに高信号であるが、他の縦隔腫瘍との鑑別は困難である。しかしT<sub>2</sub>強調像で著しい高信号の多数の結節部とその間に介在する低信号域とからなり、病理学的検討で、T<sub>2</sub>強調像における高信号域は“vascular lake”に、低信号域は肥厚した隔壁に相応し、T<sub>2</sub>強調像が縦隔血管腫の診断に有効であると考えられた。

## 文 献

- 1) 宮内嘉玄、東権広、他：縦隔血管腫の1例。臨放、33：715-718、1988
- 2) 嶋田泰之、河合隆寛、他：縦隔血管腫の1例。胸部外科、40：61-64、1987
- 3) 正岡 昭、他：縦隔外科全国集計、日胸外会誌、19：1289-1297、1976
- 4) J.M. Davis, et al.: Benign blood vascular tumors of the mediastinum, Radiology, 126: 581-587, 1978
- 5) WHO (World Health Organization): International histological classification of tumors, Histological typing of soft tissue tumors (3): 21, Geneva, 1969
- 6) F.M. Enzinger, S.E. Weiss: Benign tumors and tumorlike lesions of blood vessels, soft tissue tumors, 2ed : 502, st. Louis, Mosby, 1988
- 7) J. Dijkstra, H. Van Leeuwen, et al.: A cavernous haemangioma of the mediastinum, ROFO, 140: 97-99, 1984
- 8) M. Semisa, D. Fiore, et al.: Computed tomogra-

-----縦隔 venous hemangioma の 1 例-----

- phy of mediastinal cavernous hemangioma : a case report, Rays, 11 : 31-33, 1986
- 9) 前田敏幸, 豊平謙, 他: 縦隔血管腫の 2 症例, 日本医学会誌, 42 : 601, 1985
- 10) 金城明, 和田洋己, 他: 縦隔海綿状血管腫の 1 例, 京大胸部研紀要, 13 : 74-80, 1980
- 11) E. Kausch, H. Homma: Kavernöse Hämangiome, Radiol Austriaca, 17 : 13-18, 1967
- 12) P.A. Kaplan, S.M. Williams: Mucocutaneous and peripheral soft-tissue hemangiomas: MR Imaging, Radiology, 163 : 163-166, 1987

## MR Imaging of Mediastinal Venous Hemangioma : A Case Report

HIDEYUKI NAKAJIMA,<sup>1</sup> TAKESHI MIYAMOTO,<sup>1</sup> SHIGEO SAIWAI<sup>1</sup>  
HARUYUKI HUKUDA,<sup>1</sup> HIDEO OKUMACHI,<sup>1</sup> HARUMI TOMIOKA<sup>2</sup>  
SUNAO NISHIUCHI,<sup>3</sup> HIROYA UCHIDA<sup>4</sup>

<sup>1</sup>*Department of Radiology, Kobe City General Hospital*

<sup>2</sup>*Department of Respiratory Medicine, Kobe City General Hospital*

<sup>3</sup>*Department of Thoracic Surgery, Kobe City General Hospital*

<sup>4</sup>*Department of Clinical Pathology, Kobe City General Hospital  
Minatoshima-Naka-machi, 4-6, Chuo-ku, Kobe-si 650*

Diagnostic images of a rare case of mediastinal venous hemangioma were presented. A 41-year-old man had a mediastinal tumor detected on a routine chest radiogram. The tumor was located in the left anterior to middle mediastinum, slightly lobulated and non-contrast enhanced on CT. On T<sub>1</sub>-weighted images of ECG-gated spin echo MR imaging of Magnetom (1.5 tesla, super-conductive unit), the tumor, 50×50×80 mm in size, had slightly higher intensity than muscles, surrounded by high intensity of mediastinal fat, and contained multiple tiny high intensity spots. On T<sub>2</sub>-weighted images, the tumor consisted of many high intensity nodules intermingled by a small number of low intensity spots. Resection of the tumor was performed. Histologically the high intensity nodules and a small number of intermingled low intensity spots on T<sub>2</sub>-weighted images corresponded to vascular lakes of the hemangioma and interstitial tissue with fat, respectively.

We considered that MRI, especially T<sub>2</sub>-weighted imaging was excellent in showing pathological structures of the mediastinal hemangioma and in distinguishing it from other mediastinal masses. To our knowledge, this is a first report of MRI of a mediastinal venous hemangioma.